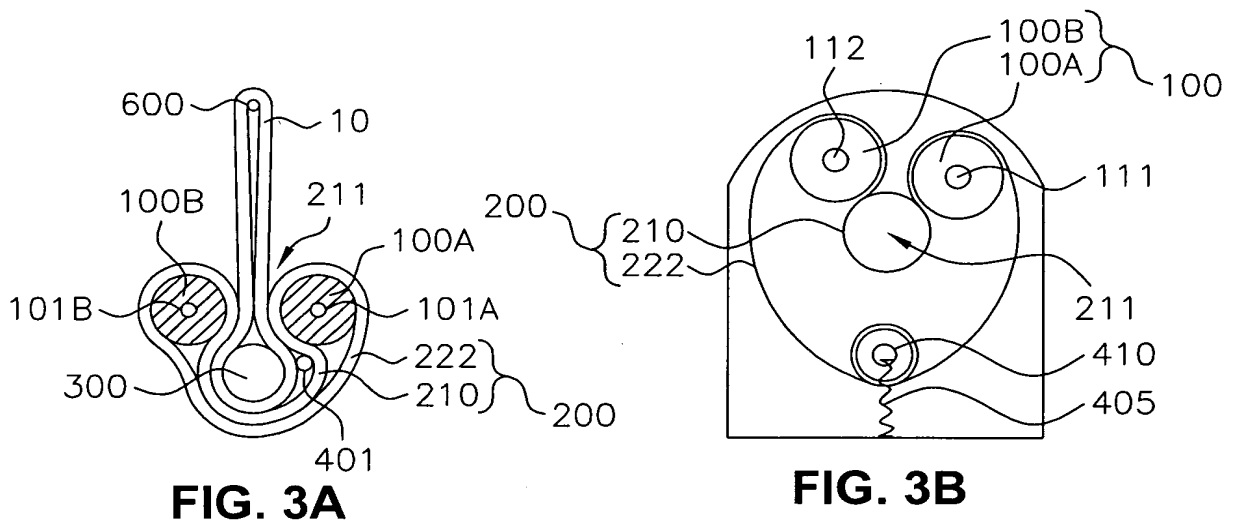
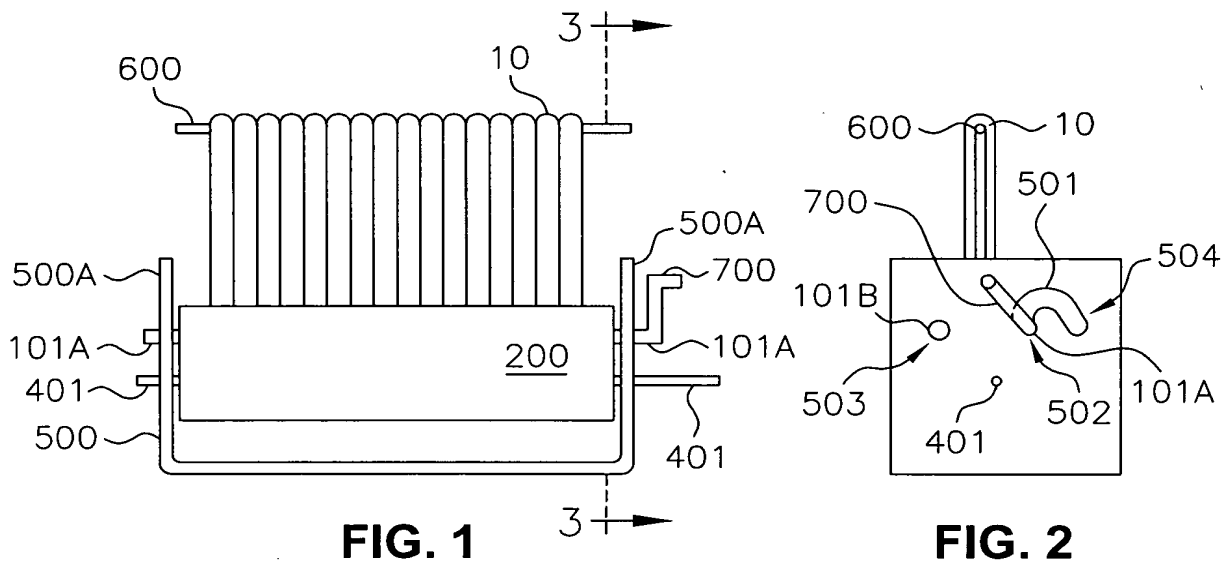


1/4
N. Usiak et al.
BSI-513US



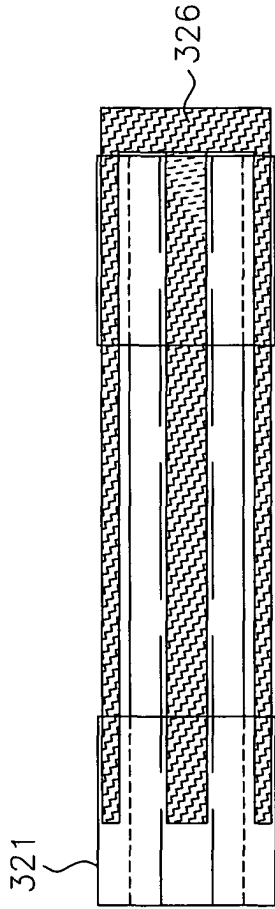


FIG. 4

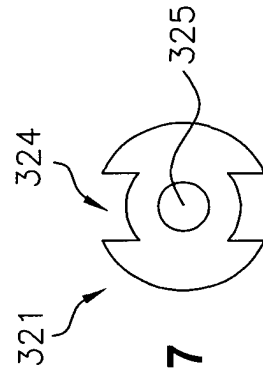


FIG. 7

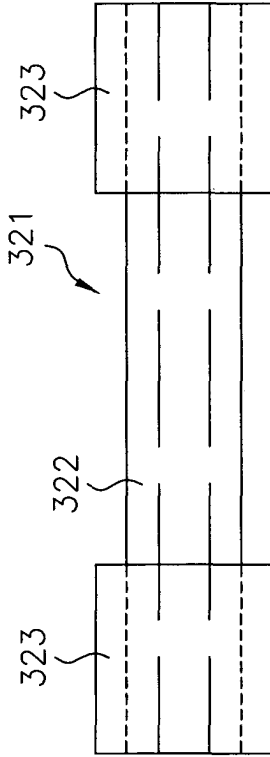


FIG. 5

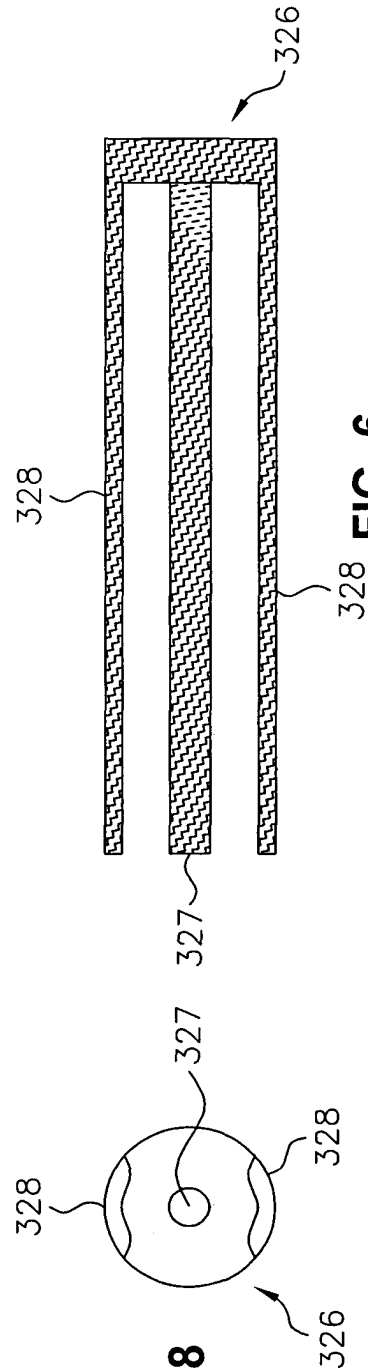


FIG. 6

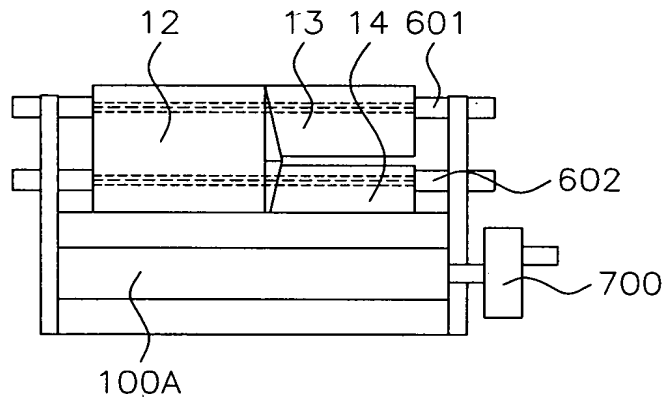


FIG. 9

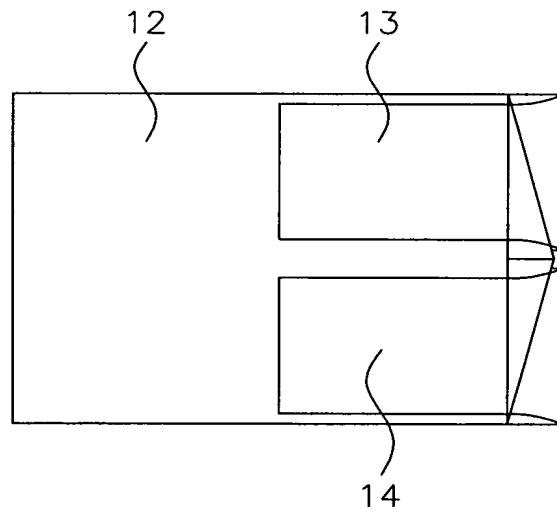


FIG. 10

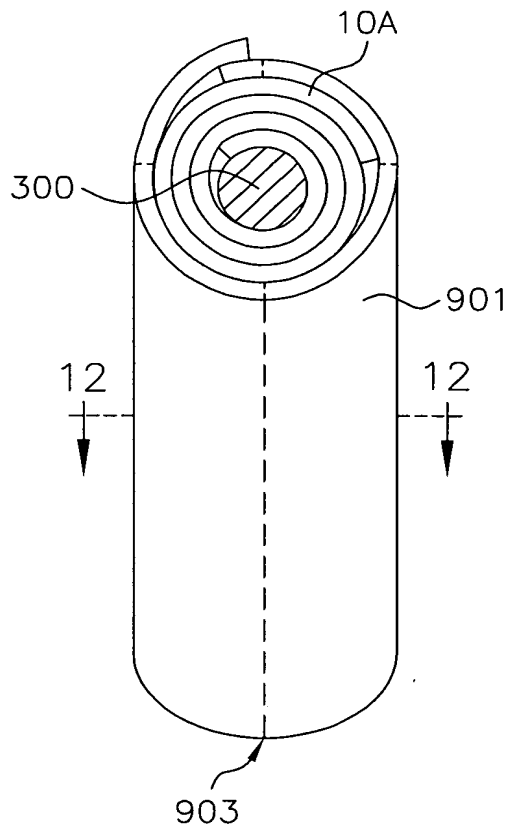


FIG. 11

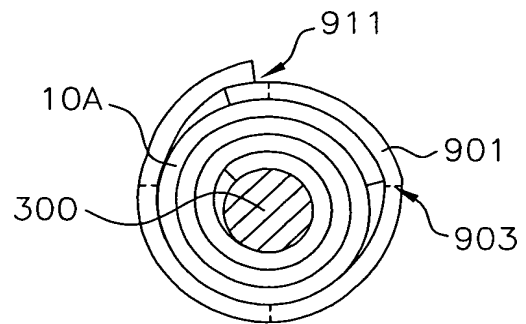


FIG. 12

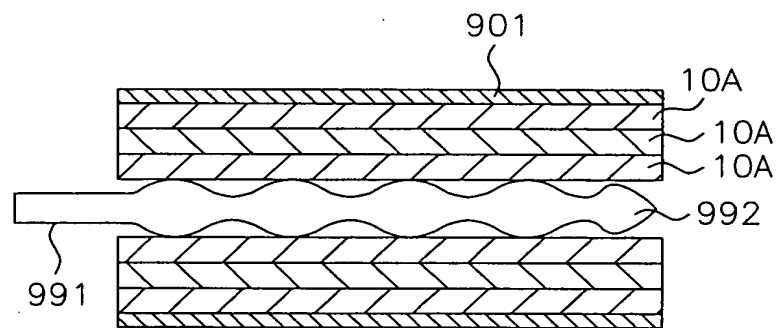


FIG. 13